

MAWSON

1305 - 1090 West Georgia Street, Vancouver, BC, V6E 3V7
Telefon: +1 604 685 9316 / Fax: +1 604 683 1585

PRESSEMITTEILUNG

27. OKTOBER 2021

MAWSON BOHRT 0,4m mit 145,5 g/t GOLD UND 20% ANTIMON ÜBER 21,7m mit 4,7 g/t GOLD UND 1% ANTIMONY IN TIEFSTEM BOHRLOCH BAUF SUNDAY CREEK, VICTORIA in AUSTRALIEN

Vancouver, Kanada - MawsonGoldLimited ("Mawson" oder das "Unternehmen") (TSX:MAW) (Frankfurt:MXR) (PINKSHEETS: MWSNF - <https://www.commodity-tv.com/ondemand/companies/profil/mawson-gold-ltd/>) freut sich, die Untersuchungsergebnisse von sieben Diamantbohrlöchern (MDDSC016A-22) bekannt zu geben, die auf dem zu 100 % unternehmenseigenen Projekt Sunday Creek in den Victorian Goldfields in Australien gebohrt wurden. Das Sunday Creek-Goldprojekt mit epizonalem Charakter befindet sich 56 Kilometer nördlich von Melbourne und umfasst 19.365 Hektar an bewilligten Explorationsgrundstücken.

Höhepunkte:

- **21,7 Meter @ 4,7 g/t Au und 1,0 % Sb (5,6 g/t Auäq)** aus 274,7 Metern in Bohrloch MDDSC021, einschließlich:
 - **0,4 Meter @ 145,5 g/t Au und 20,0 % Sb (165,4 g/t Auäq)** über 277,0 Meter;
 - **1,1 Meter @ 19,2 g/t Au und 7,5 % Sb (26,7 g/t Auäq)** aus 280,4 Metern;
 - **0,4 Meter @ 14,7 g/t Au und 3,3 % Sb (17,9 g/t Auäq)** über 287,4 Meter;
 - Das tiefste Bohrloch, das bei Sunday Creek gebohrt wurde (225 Meter vertikale Tiefe), und die hochgradigste Gold-Stibnit-Mineralisierung, die bisher auf dem Projekt gefunden wurde (Tabellen 1-3, Abbildungen 1-3):
- **77,6 Meter @ 0,8 g/t Au und 0,2 % Sb (1,0 g/t Auäq)** aus 109,4 Metern in Bohrloch MDDSC016A, einschließlich:
 - **23,5 Meter @ 1,6 g/t Au und 0,3% Sb (1,9 g/t Auäq)** aus 109,4 Metern
- Die Bohrungen werden fortgesetzt; fünfundzwanzig Diamantbohrlöcher (MDDSC001-025) mit einer Gesamtlänge von 6.005 Metern wurden nun auf dem Goldprojekt Sunday Creek abgeschlossen.

Michael Hudson, Executive Chairman, erklärt: " Während wir beginnen, mutigere und größere Step-Outs zu unternehmen, durchteufte unser tiefstes Bohrloch bei Sunday Creek die höchsten Gehalte, die wir bisher gesehen haben und ist der siebte Abschnitt mit mehr als 100 g/t * Breite auf dem Projekt. Sunday Creek liefert weiterhin eine kontinuierliche Mineralisierung über größere Streichabstände in mehreren Bohrlöchern und steigende Gehalte in der Tiefe. Nichtsdestotrotz ist die gesamte Mineralisierung in der Tiefe weiterhin offen und das System setzt sich 10 Kilometer weiter östlich fort und umfasst historische Minen, ohne dass ein einziges Bohrloch getestet wurde. "

MDDSC016A durchteufte 77,6 Meter mit 0,8 g/t Au und 0,2 % Sb 1,0 g/t Auäq (kein unterer Schnitt) auf 109,4 Metern im Bereich der Mine Apollo, die 80 Meter unterhalb von VCRC007 (28 Meter mit 3,0 g/t Au 0,3 % Sb 3,2 g/t Auäq) gebohrt wurde. Hochgradigere Zonen enthalten:

- 23,5 Meter @ 1,6 g/t Au und 0,3 % Sb (1,9 g/t Auäq) aus 109,4 Metern einschließlich:
 - 0,4 Meter @ 53,3 g/t Au und 3,5% Sb (56,8 g/t Auäq) aus 124,7 Metern
- 11,9 Meter @ 0,7 g/t Au und 0,5 % Sb (1,2 g/t Auäq) aus 157,5 Metern einschließlich:
 - 0,4 Meter @ 0,9 g/t Au und 12,1% Sb (12,9 g/t Auäq) aus 167,8 Metern

- 7,6 Meter @ 2,2 g/t Au und 0,2 % Sb (2,4 g/t Auäq) aus 174,6 Metern

MDDSC017, ebenfalls bei Apollo, durchteuft:

- 0,7 Meter @ 14,1 g/t Au und 0,0% Sb (14,1 g/t Auäq) aus 242,7 Metern
- Es wird angenommen, dass der südliche Rand der breiteren, nach Norden abfallenden mineralisierten Zone 50 Meter unterhalb von [MDDSC0015A](#) (15,3 Meter @ 2,2 g/t Au und 2,1 % Sb (4,3 g/t Auäq) aus 231,4 Metern) abgeschnitten wurde.

MDDSC018, das erste Bohrloch von Mawson, das unmittelbar unterhalb der Golden-Dyke-Bohrungen gebohrt wurde, durchteufte das Gebiet:

- 12,2 Meter @ 1,6 g/t Au und 0,2 % Sb (1,8 g/t Auäq) über 199,8 Meter;
 - einschließlich 1,0 Meter mit 12,5 g/t Au und 1,1 % Sb (13,5 g/t Auäq) aus 202,3 Metern
- Golden Dyke befindet sich 600 Meter westlich der Mine Apollo. Die Abbaustätten von Golden Dyke bestanden aus 20 einzelnen Strossen, die sich über einen Streich von 200 Metern bis in eine vertikale Tiefe von 180 Metern erstrecken (Abbildung 2). Es wird geschätzt, dass in den späten 1800er bis zu den frühen 1900er Jahren insgesamt 15.000 Unzen mit 12,6 g/t Au abgebaut wurden. Die Ausbeute an freiem Gold lag Berichten zufolge aufgrund metallurgischer Komplikationen (zu jener Zeit) mit Stibnit bei etwa 50 %.

MDDSC019, ebenfalls bei Golden Dyke, wurde 95 m ENE von MDDSC018 gebohrt und durchteuft:

- 1,0 Meter mit 3,5 g/t Au und 0,1 % Sb (3,5 g/t Auäq) aus 52,0 Metern;
- 4,0 Meter @ 0,9 g/t Au und 0,0% Sb (1,0 g/t Auäq) aus 159,0 Metern

Die Bohrung MDDSC020 unterhalb der Mine Rising Sun, die 240 m ENE vom Gebiet Golden Dyke liegt, wurde durchteuft:

- 15,0 Meter @ 1,3 g/t Au und 0,4 % Sb (1,8 g/t Auäq) aus 207,0 Metern einschließlich:
 - 1,0 Meter mit 8,4 g/t Au und 0,2 % Sb (8,7 g/t Auäq) aus 207,0 Metern;
 - 0,7 Meter @ 2,8 g/t Au und 3,5% Sb (6,2 g/t Auäq) aus 216,7 Metern
- Bohrung 120 Meter unterhalb von [MDDSC003](#) (6 Meter mit 1,6 g/t Au und 1,4 % Sb (3,0 g/t AUÄQ)) und dem historischen Bohrloch VCRC022 (19 Meter mit 6,5 g/t Au und 0,3 % Sb (6,8 g/t Auäq))

MDDSC021 wurde 90 Meter unterhalb von MDDSC020 gebohrt und ist der tiefste Abschnitt, der bisher auf dem Projekt gebohrt wurde:

- 21,7 Meter @ 4,7 g/t Au und 1,0 % Sb (5,6 g/t Auäq) aus 274,7 Metern einschließlich:
 - 0,4 Meter @ 145,5 g/t Au und 20,0 % Sb (165,4 g/t Auäq) über 277,0 Meter;
 - 1,1 Meter @ 19,2 g/t Au und 7,5 % Sb (26,7 g/t Auäq) aus 280,4 Metern;
 - 0,4 Meter @ 14,7 g/t Au und 3,3 % Sb (17,9 g/t Auäq) aus 287,4 Metern
- 600 Meter westlich der kürzlich [gemeldeten](#) Schlitzproben (14,0 Meter mit 11,5 g/t Gold und 0,3 % Antimon, einschließlich 8,0 Meter mit 19,6 g/t Gold und 0,4 % Antimon) gelegen.

Die Bohrung MDDSC022, die 115 Meter östlich von MDDSC0020 unterhalb des Gebiets der Root Hog Mine niedergebracht wurde, durchschnitt keine signifikante Mineralisierung innerhalb einer Zone mit struktureller Komplexität.

Mawson hat nun fünfundzwanzig Bohrlöcher (MDDSC001-025) auf 6.005 Metern auf dem Gold-Antimon-Projekt Sunday Creek abgeschlossen (Abbildungen 1 und 2). Die Bohrungen werden fortgesetzt und die Untersuchungsergebnisse von 22 der 25 abgeschlossenen Bohrlöcher wurden bereits veröffentlicht. Geophysikalische Untersuchungen (induzierte 3D-Polarisation und Bodenmagnetik) und detaillierte LiDAR-Untersuchungen wurden abgeschlossen. Ein 1.600 Punkte umfassendes Bodenprobenprogramm bei Sunday Creek, das sich von den Bohrgebieten in ost-nordöstlicher Richtung erstreckt, um den 11 Kilometer langen Trend der in der Vergangenheit abgebauten Mineralisierung mit epizonalem Gang innerhalb der von Mawson gepachteten Gebiete zu testen, wurde ebenfalls abgeschlossen. Die Integration von LiDAR, Bodenproben, Gesteinssplintern und geophysikalischen Daten ist der Schlüssel für die Erweiterung des Projekts entlang des Streichs.

Bei Sunday Creek wurde zwischen 1880 und 1920 auf einer Streichlänge von mehr als 11 Kilometern Gold abgebaut. Die Bohrungen in den Jahren 1990 bis 2000 konzentrierten sich auf oberflächennahe, zuvor abgebaute Grubenbaue, die ein Gebiet von 100 Metern Breite und 800 Metern Länge abdeckten, jedoch nur bis zu einer durchschnittlichen Tiefe von 80 Metern. Somit ist das gesamte Feld entlang des Streichs und in der Tiefe weiterhin offen. Apollo war der erste tiefe Schacht,

der Ende des 19. Jahrhunderts bis zu einer Tiefe von 100 Metern in einer Reihe von blattförmigen, stibnitreichen Adern gebohrt wurde, die vorwiegend in einer Zone mit felsischen Gesteinsschichten und damit verbundenen Alterationen liegen, die die Goldverteilung weitgehend kontrollieren.

Die Mineralisierung bei Sunday Creek befindet sich in Schiefer- und Schluffsteinen aus dem späten Silur bis frühen Devon, die eine Reihe von Gesteinsgängen mit felsisch-intermediärer Zusammensetzung enthalten. Das Gold ist vor allem in und um die nach Norden einfallenden und OW bis NO-SW streichenden felsischen Erzgänge und den Halo der mit den Erzgängen verbundenen Serizit-Pyrit-Alteration vor der Mineralisierung konzentriert. Die Mineralisierung liegt im Allgemeinen innerhalb von brüchigen, mehrfach geschichteten Adern und kataklastischen Zonen. Einzelne NW-streichende hochgradige Quarz-Stibnit-Adern bei Apollo und Golden Dyke sowie kataklastische Zonen bei Gladys waren der Schwerpunkt des historischen Bergbaus bei Sunday Creek. Mawson hat nachgewiesen, dass sich diese Zonen bis in die Tiefe fortsetzen. Breitere aderhaltige und kataklastische Mineralisierungen mit einem Gehalt von weniger als 15 g/t Gold scheinen von den historischen Bergleuten unberührt zu sein.

Technischer und ökologischer Hintergrund

Die Tabellen 1-3 enthalten die Daten der Kragen und der Proben. Die tatsächliche Mächtigkeit des mineralisierten Abschnitts wird auf etwa 70 % der beprobten Mächtigkeit geschätzt. Alle angegebenen Bohrergebnisse weisen einen unteren Schnitt von 0,3 g/t Au auf einer Breite von 2,0 Metern auf, wobei höhere Gehalte mit einem Schnitt von 5 g/t Au auf 1,0 Metern gemeldet werden, sofern nicht anders angegeben.

Für das Programm wurde ein Diamantbohrgerät des Auftragnehmers Starwest Pty Ltd eingesetzt. Der Kerndurchmesser ist HQ (63,5 mm) und orientiert mit einer ausgezeichneten Kernaussbeute von durchschnittlich fast 100 % sowohl im oxidierten als auch im frischen Gestein. Nach dem Fotografieren und Protokollieren in Mawsons Kernprotokollierungseinrichtungen in Nagambie wurden die Abschnitte von Mawsons Personal mit Diamanten in zwei Hälften gesägt. Die Hälfte des Kerns wird zu Verifizierungs- und Referenzzwecken aufbewahrt. Die analytischen Proben werden zur On Site Laboratory Services-Einrichtung in Bendigo transportiert, die sowohl nach ISO 9001 als auch nach NATA-Qualitätssystemen arbeitet. Die Proben wurden aufbereitet und mit der Brandprobenmethode (PE01S-Methode; 25-Gramm-Charge) auf Gold analysiert, gefolgt von der Messung des Goldes in Lösung mit einem Flammen-AAS-Gerät. Die Proben für die Multi-Element-Analyse (BM011 und Over-Range-Methoden nach Bedarf) werden mit Königswasser aufgeschlossen und mit ICP-MS analysiert. Das QA/QC-Programm von Mawson besteht aus dem systematischen Einbringen von zertifizierten Standards mit bekanntem Goldgehalt und Leerproben in das interpretierte mineralisierte Gestein. Darüber hinaus werden vor Ort Leerproben und Standards in den Analyseprozess eingefügt.

Berechnung des Goldäquivalents

Mawson ist der Meinung, dass alle in die Berechnung des Metalläquivalents einbezogenen Elemente ein angemessenes Potenzial zur Gewinnung aufweisen. Das Goldäquivalent (Auäq) wurde auf der Grundlage der Rohstoffpreise vom 21. März 2021 berechnet. Die Auäq-Formel lautet wie folgt: $Auäq(g/t) = (Au_g/t) + (XX * Sb\%)$, wobei $XX = (US\$5.600/100) / (US\$1.750/31,1035)$ und der Goldpreis = US\$1.750/oz und der Antimonpreis = US\$5.600/Tonne.

Qualifizierte Person

Dr. Nick Cook (FAusMM), Chefgeologe des Unternehmens, ist eine qualifizierte Person gemäß National Instrument 43-101 - Standards of Disclosure or Mineral Projects und hat die wissenschaftlichen und technischen Informationen in dieser Pressemitteilung erstellt oder überprüft.

Über Mawson Gold Limited (TSX:MAW, FRANKFURT:MXR, OTC/PINK:MWSNF)

[MawsonGoldLimited](#) ist ein Explorations- und Erschließungsunternehmen. Mawson hat sich als führendes Explorationsunternehmen in der nordischen Arktis profiliert, wobei der Schwerpunkt auf dem Vorzeige-Gold-Kobalt-Projekt Rajapalot in Finnland liegt. Mawson besitzt auch drei hochgradige, historische, epizonale Goldfelder mit einer Fläche von 470 Quadratkilometern in Victoria, Australien, oder ist an Joint Ventures beteiligt und ist gut aufgestellt, um seine bereits bedeutenden Gold-Kobalt-Ressourcen in Finnland zu erweitern.

Weitere Informationen

www.mawsongold.com

1305 - 1090 West Georgia St., Vancouver, BC, V6E 3V7

Mariana Bermudez (Kanada), Unternehmenssekretärin, +1 (604) 685

9316, info@mawsongold.com

Im Namen des Verwaltungsrats,

"Michael Hudson"

Michael Hudson, Geschäftsführender Vorsitzender

In Europa:
Swiss Resource Capital AG
Jochen Staiger
info@resource-capital.ch
www.resource-capital.ch

Zukunftsgerichtete Aussage

Diese Pressemitteilung enthält zukunftsgerichtete Aussagen oder zukunftsgerichtete Informationen im Sinne der geltenden Wertpapiergesetze (zusammenfassend als "zukunftsgerichtete Aussagen" bezeichnet). Alle hierin enthaltenen Aussagen, mit Ausnahme von Aussagen über historische Fakten, sind zukunftsgerichtete Aussagen. Obwohl Mawson der Ansicht ist, dass solche Aussagen angemessen sind, kann Mawson keine Garantie dafür geben, dass sich diese Erwartungen als richtig erweisen werden. Zukunftsgerichtete Aussagen sind in der Regel durch Wörter wie glauben, erwarten, vorhersehen, beabsichtigen, schätzen, postulieren und ähnliche Ausdrücke gekennzeichnet oder beziehen sich auf zukünftige Ereignisse. Mawson weist die Investoren darauf hin, dass zukunftsgerichtete Aussagen keine Garantie für zukünftige Ergebnisse oder Leistungen sind und dass die tatsächlichen Ergebnisse aufgrund verschiedener Faktoren erheblich von jenen in zukunftsgerichteten Aussagen abweichen können, einschließlich, jedoch nicht darauf beschränkt, des Zeitplans und des erfolgreichen Abschlusses der bei Sunday Creek geplanten Bohrprogramme, der Kapital- und sonstigen Kosten, die erheblich von den Schätzungen abweichen, der Veränderungen auf den Weltmetallmärkten, der Veränderungen auf den Aktienmärkten, der potenziellen Auswirkungen von Epidemien, Pandemien oder anderen Krisen im Gesundheitswesen, einschließlich der aktuellen Pandemie, die als COVID-19 bekannt ist, auf das Geschäft des Unternehmens, geplante Bohrprogramme und Ergebnisse, die von den Erwartungen abweichen, Verzögerungen bei der Erzielung von Ergebnissen, Ausrüstungsausfälle, unerwartete geologische Bedingungen, die Beziehungen zu den örtlichen Gemeinden, der Umgang mit Nichtregierungsorganisationen, Verzögerungen beim Betrieb aufgrund von Genehmigungen, Umwelt- und Sicherheitsrisiken sowie andere Risiken und Ungewissheiten, die unter der Überschrift "Risikofaktoren" in Mawsons jüngstem Jahresinformationsblatt, das auf www.sedar.com. Jede zukunftsgerichtete Aussage bezieht sich nur auf das Datum, an dem sie getätigt wird, und Mawson lehnt jede Absicht oder Verpflichtung ab, zukunftsgerichtete Aussagen zu aktualisieren, sei es aufgrund neuer Informationen, zukünftiger Ereignisse oder Ergebnisse oder aus anderen Gründen, es sei denn, die geltenden Wertpapiergesetze verlangen dies.

Abbildung 1: Lageplan der historischen Minen des Sunday Creek Projekts und Standort der Mawson-Bohrungen.

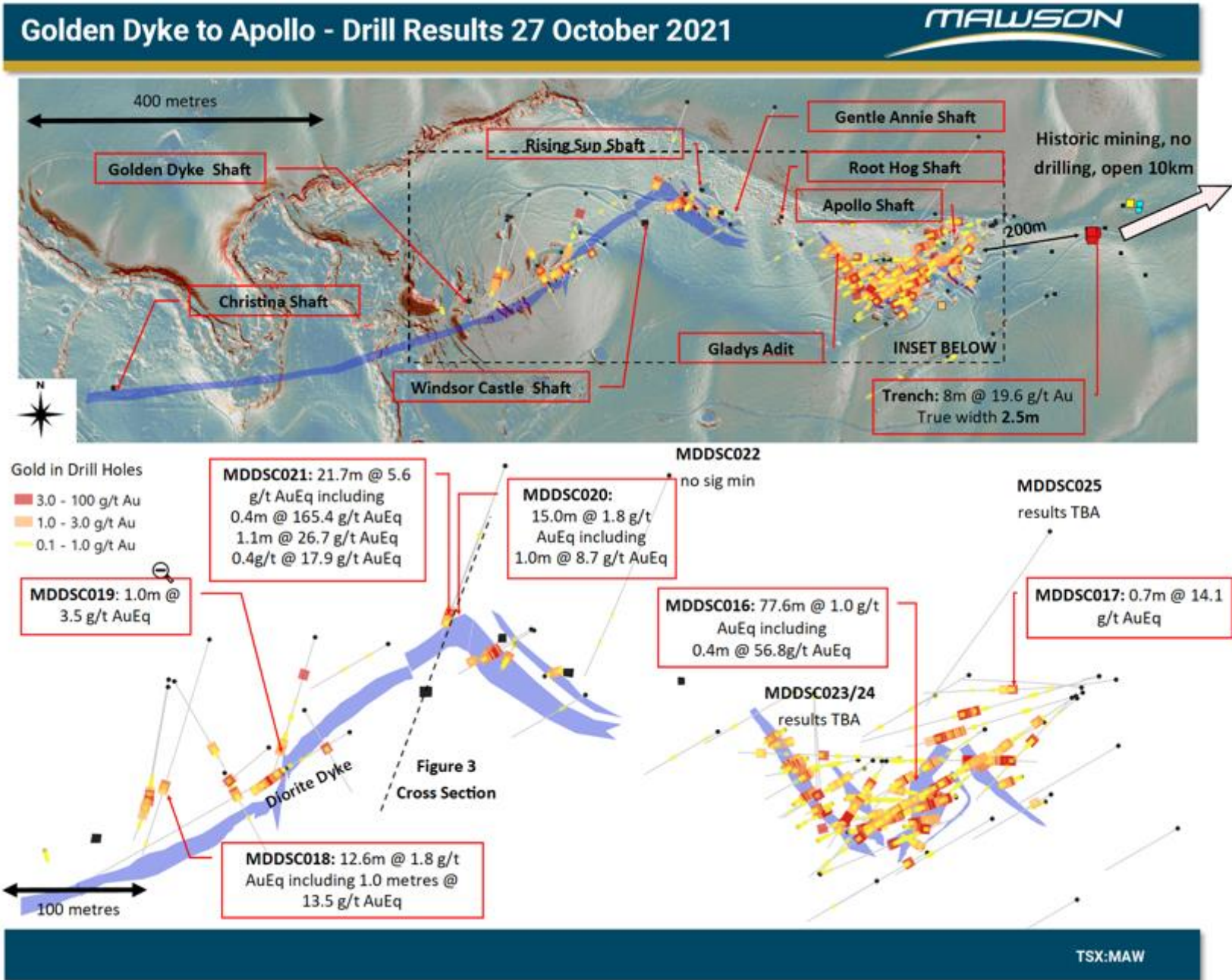


Abbildung 2: Längsschnitt durch das Minengebiet Golden Dyke bis Apollo mit den Mawson-Bohrlöchern MDDSC0016 und MDDSC0022, über die hier berichtet wird.

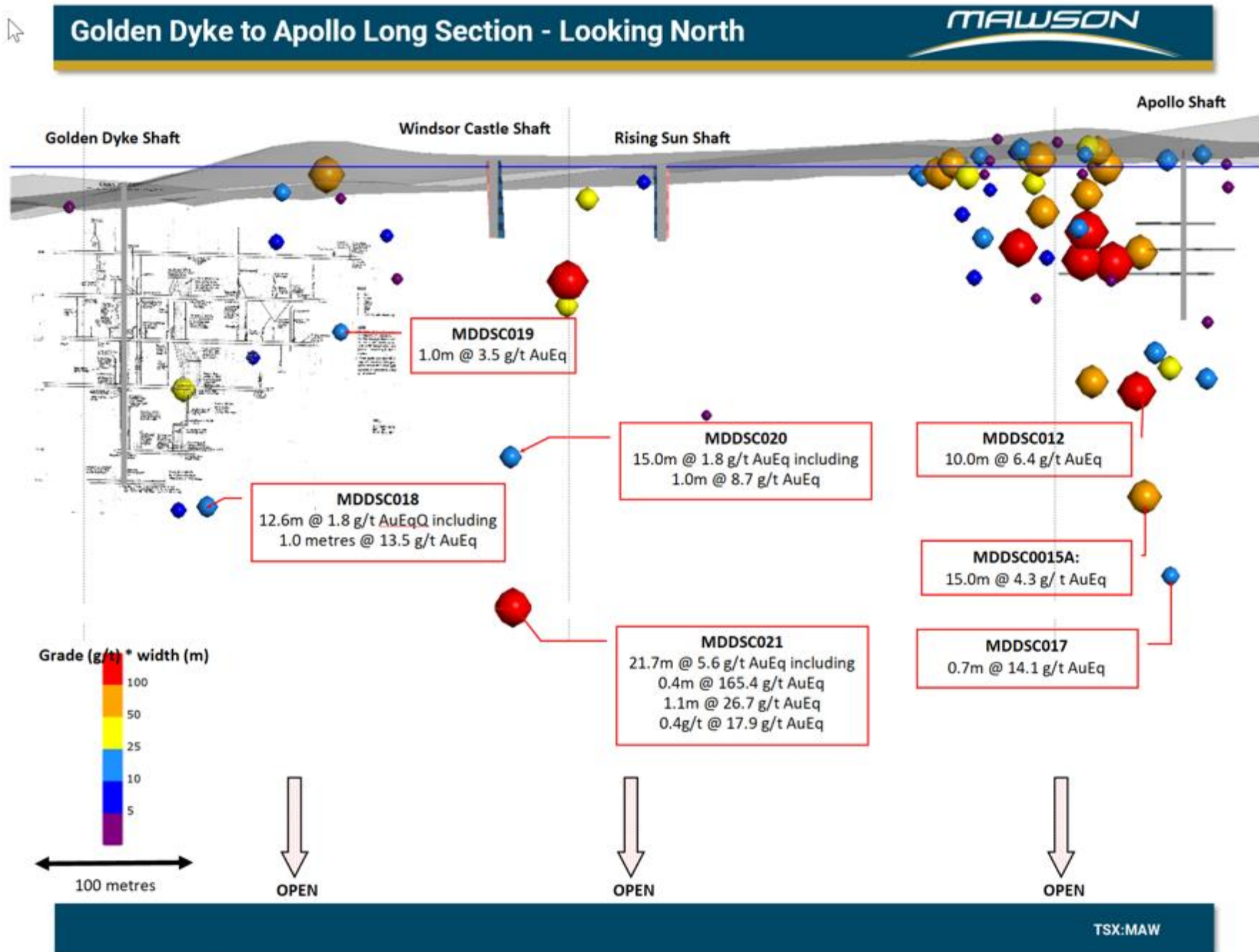


Abbildung 3: Querschnitt der Mine Rising Sun mit den hier berichteten Mawson-Bohrlöchern MDDSC020 und MDDSC021

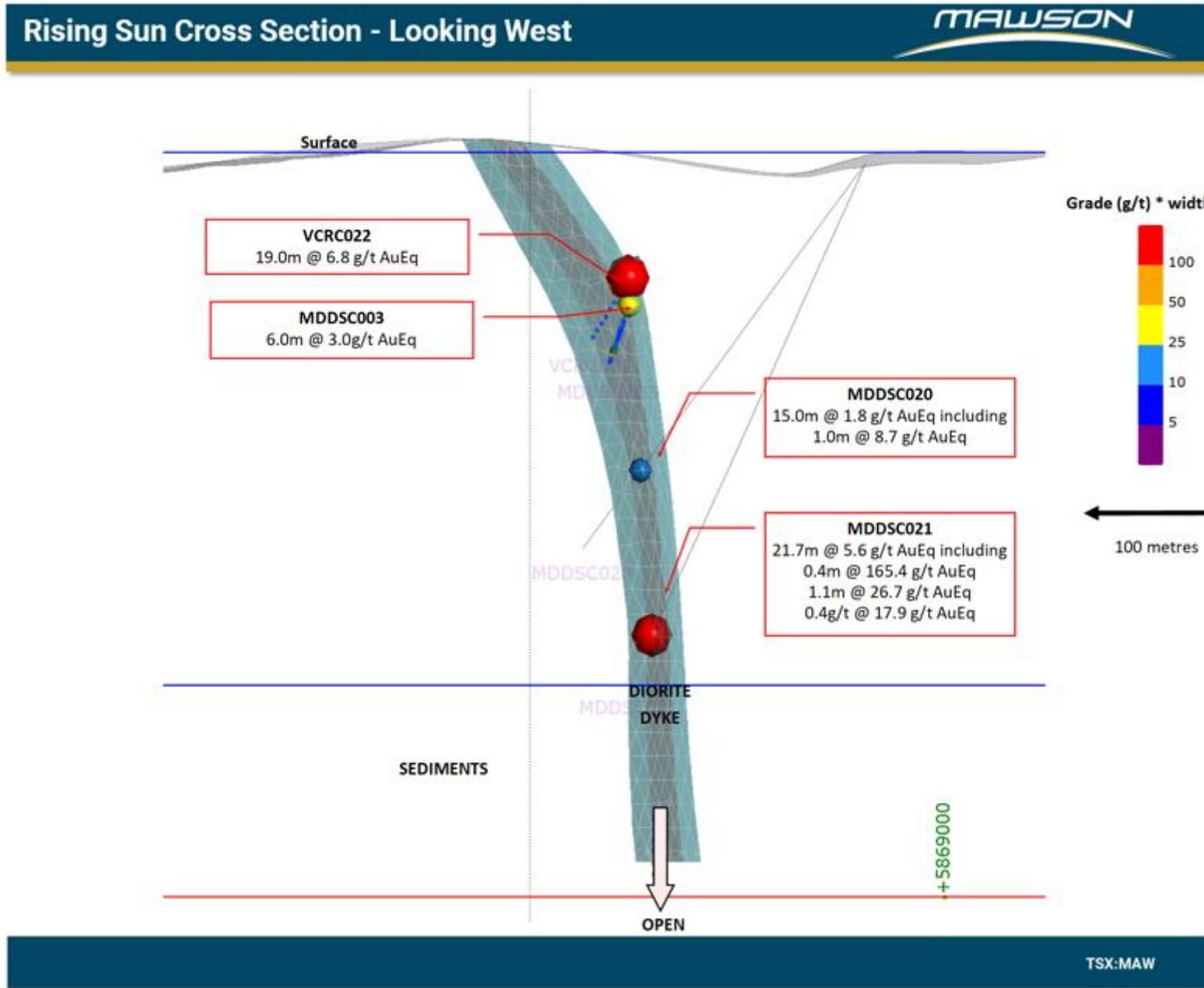


Tabelle 1: Informationen zu den Collar-Bohrungen von Mawson auf dem Projekt Sunday Creek

Koordinatenreferenzsystem GDA94, Zone 55 (EPSG:28355)

Bereich	Bohrung_ID	Östliche Ausrichtung	Nordrichtung	Dip	Azimut	RL (m)	Tiefe (m)	Datum der Meldung
Zentrale	MDDSC001	331080	5867769	-55.5	283.3	318	67	Oktober 07, 2020
Zentrale	MDDSC002	331085	5867771	-65.6	241.9	318	150.3	27. Oktober 2020
Aufgehende Sonne	MDDSC003	330776	5867892	-65.2	240.2	295	127.7	27. Oktober 2020
Goldener Deich	MDDSC004	330637	5867822	-44	240.5	321	280	Januar 05, 2021
Apollo	MDDSC005	331029	5867798	-45.5	89.6	311	160.1	Januar 05, 2021
Gladys	MDDSC006	331023	5867799	-39.4	237.1	311	99.6	11. Februar 2021
Gladys	MDDSC007	330985	5867712	-42	70	321.5	150.8	11. Februar 2021
Gladys	MDDSC008	331044	5867763	-52	253.2	320	99.2	11. Februar 2021
Gladys	MDDSC009	331013	5867799	-50	260	311	105.9	11. Februar 2021
Gladys	MDDSC010	331033	5867798	-60	214	310.5	151.3	11. Februar 2021
Gladys	MDDSC011	331042	5867798	-55	270	310	215.8	22. März 2021
Apollo	MDDSC012	331172	5867842	-60	252.4	309	262.9	22. März 2021
Apollo	MDDSC013	331170	5867842	-68	223	309	43.4	Verlassen
Apollo	MDDSC013A	331170	5867842	-68	223	309	270	Juli 06, 2021
Apollo	MDDSC014	330985	5867712	-75	41.4	303.7	300	Juli 06, 2021
Apollo	MDDSC015	331191.6	5867860	-65	253	306.7	29.8	Verlassen
Apollo	MDDSC015A	331191.6	5867860	-65	253	306.7	423.2	Juli 06, 2021
Apollo	MDDSC016	331104.4	5867822	-66	236	308.3	15.74	Verlassen
Apollo	MDDSC016A	331104.4	5867822	-66	236	308.3	252.5	Hier
Apollo	MDDSC017	331196.4	5867856	-72	260	307.6	450	Hier
Goldener Deich	MDDSC018	330548	5867891	-55	195	307.6	300	Hier
Goldener Deich	MDDSC019	330615.8	5867886	-57	195	300.39	196.4	Hier
Aufgehende Sonne	MDDSC020	330755	5868012	-55	195	298.43	200	Hier
Aufgehende Sonne	MDDSC021	330755	5868012	-65	200	298.43	321.4	Hier
Wurzelschwein	MDDSC022	330875	5868005	-55	200	307.19	282.5	Hier
Gladys	MDDSC023	330981	5867845	-66	175	297.35	222.6	TBA
Gladys	MDDSC024	330981	5867845	-77	175	297.35	306.3	TBA
Apollo	MDDSC025	331154	5867964	-72	210	297.35	444.2	TBA

Anmerkung: (1) Die tatsächliche Mächtigkeit des mineralisierten Abschnitts wird auf etwa 70 % der beprobten Mächtigkeit geschätzt.

Tabelle 2: Abschnitte der Bohrungen von Mawson auf dem Projekt Sunday Creek. Die Abschnitte werden mit einem unteren Schnitt von 0,3 g/t Au auf einer Breite von 2,0 Metern gemeldet, wobei höhere Gehalte mit einem Schnitt von 5 g/t Au auf 1,0 Metern gemeldet werden.

Bohrung_ID	Von (m)	Nach (m)	Breite ⁽¹⁾ (m)	Au g/t	Sb%	Auäq g/t
MDDSC001	0.0	15.2	15.2	3.7	0.2	3.9
einschließlich	2.0	2.8	0.8	9.4	0.4	9.7
einschließlich	6.0	6.2	0.1	15.8	0.1	15.9
einschließlich	8.0	8.7	0.7	5.7	0.1	5.8
einschließlich	10.0	11.6	1.6	11.3	0.3	11.5
MDDSC001	56.0	56.9	0.9	2.2	0.0	2.2
MDDSC001	64.0	65.4	1.4	0.6	0.1	0.7
MDDSC002	16.0	17.5	1.5	1.2	0.3	1.4
MDDSC002	26.0	26.3	0.3	6.3	0.2	6.4
MDDSC002	39.0	41.0	2.0	1.4	0.0	1.4
MDDSC002	50.0	59.0	9.0	3.2	0.5	3.7
einschließlich	54.0	54.3	0.3	82.8	13.8	96.5
MDDSC002	76.0	76.5	0.5	1.0	0.0	1.1
MDDSC002	96.0	96.6	0.6	2.2	0.3	2.5
MDDSC002	109.0	110.1	1.1	21.4	3.3	24.7
MDDSC002	113.0	113.3	0.3	10.6	1.1	11.7
MDDSC002	116.0	130.3	14.3	2.9	0.5	3.3
einschließlich	116.0	116.3	0.3	25.6	0.0	25.6
einschließlich	117.0	117.4	0.4	18.0	2.8	20.8
einschließlich	119.0	119.6	0.5	7.0	7.3	14.3
einschließlich	123.0	124.1	1.1	5.2	0.8	6.0
einschließlich	128.0	128.2	0.2	7.1	0.0	7.1
MDDSC002	135.0	136.0	1.0	0.6	0.0	0.6
MDDSC002	143.0	144.0	1.0	1.8	0.0	1.8
MDDSC003	72.0	73.5	1.5	3.6	0.3	3.9
einschließlich	72.0	72.9	0.9	5.3	0.5	5.7
MDDSC003	76.0	81.5	5.5	1.6	1.4	3.0
einschließlich	79.0	79.6	0.6	5.9	10.0	15.8
MDDSC003	84.0	84.9	0.9	1.0	0.0	1.0
MDDSC003	91.0	92.4	1.3	0.4	0.6	1.0
MDDSC003	116.0	119.1	3.1	0.6	0.0	0.6
MDDSC005	15.0	15.3	0.3	0.7	0.0	0.7
MDDSC005	88.0	92.2	4.2	3.4	0.1	3.5
einschließlich	89.0	89.2	0.1	7.1	0.7	7.9
MDDSC005	99.0	99.2	0.2	1.3	0.4	1.6
MDDSC005	107.0	112.7	5.7	0.6	0.6	1.2
einschließlich	109.0	109.2	0.2	3.0	11.2	14.1

MDDSC005	120.0	135.7	15.7	2.6	1.0	3.6
einschließlich	124.0	124.1	0.1	52.6	7.5	60.0
einschließlich	128.0	128.6	0.6	13.0	2.0	15.0
einschließlich	131.0	131.4	0.4	8.3	5.1	13.4
einschließlich	133.0	134.7	1.7	8.6	4.9	13.5
MDDSC006	29.0	30.0	1.0	2.3	0.0	2.3
MDDSC006	33.0	33.8	0.8	0.9	0.0	0.9
MDDSC006	57.0	57.6	0.6	0.0	4.4	4.4
MDDSC007	76.0	81.8	5.8	2.2	0.4	2.6
MDDSC007	76.0	76.3	0.3	7.8	2.4	10.2
MDDSC007	79.0	79.4	0.4	22.8	3.2	26.0
MDDSC007	85.0	90.4	5.4	0.6	0.0	0.6
MDDSC007	96.0	96.8	0.8	0.6	0.0	0.6
MDDSC008	13.0	14.0	1.0	1.0	0.0	1.0
MDDSC008	26.0	26.9	0.9	1.3	0.0	1.3
MDDSC008	32.0	33.8	1.8	1.2	0.0	1.2
MDDSC008	68.0	68.7	0.7	20.6	5.0	25.6
MDDSC008	95.0	95.2	0.2	8.4	3.9	12.3
MDDSC009	26.0	26.4	0.4	0.8	0.0	0.8
MDDSC009	29.0	30.7	1.7	0.6	0.4	1.0
MDDSC009	51.0	53.0	2.0	0.6	0.0	0.6
MDDSC009	67.0	68.7	1.7	2.5	0.0	2.5
MDDSC009	84.0	85.0	1.0	1.0	0.0	1.0
MDDSC010	41.0	41.6	0.6	20.6	0.0	20.6
MDDSC010	47.0	48.9	1.9	1.0	0.0	1.0
MDDSC010	59.0	59.5	0.5	0.6	0.0	0.6
MDDSC010	70.0	79.0	9.0	4.7	0.1	4.8
einschließlich	74.0	76.0	2.0	18.6	0.5	19.1
MDDSC010	82.0	84.3	2.3	0.9	0.0	0.9
MDDSC010	93.0	95.5	2.5	0.9	0.1	1.0
MDDSC010	98.0	101.1	3.1	10.8	1.6	12.4
einschließlich	100.0	101.2	1.2	25.7	4.1	29.8
MDDSC010	120.0	121.4	1.4	1.0	0.0	1.0
MDDSC011	55.0	56.0	1.0	0.9	0.0	0.9
MDDSC011	79.0	82.0	3.0	0.4	0.0	0.4
MDDSC011	99.0	101.0	2.0	2.0	0.0	2.0
MDDSC011	184.0	187.8	3.8	0.6	0.0	0.6
MDDSC012	74.0	74.7	0.7	0.9	0.2	1.1
MDDSC012	76.0	78.2	2.2	0.4	0.3	0.7
MDDSC012	141.0	141.6	0.6	0.7	0.1	0.8
MDDSC012	155.0	155.3	0.3	0.2	0.8	1.0
MDDSC012	178.0	180.8	2.8	4.0	0.3	4.3

einschließlich	178.0	178.8	0.8	11.4	0.9	12.3
MDDSC012	184.0	189.9	5.9	1.7	0.1	1.8
einschließlich	185.0	186.0	1.0	4.3	0.8	5.1
MDDSC012	196.0	200.3	4.3	2.2	0.2	2.4
einschließlich	196.0	197.0	1.0	5.9	0.3	6.2
MDDSC012	203.0	213.4	10.4	5.4	1.0	6.4
einschließlich	207.0	207.2	0.2	37.3	12.0	49.2
einschließlich	209.0	211.2	2.2	15.8	3.3	19.2
MDDSC012	226.0	227.1	1.1	1.4	0.0	1.4
MDDSC013A	111.1	116.3	5.3	3.08	1.13	4.21
einschließlich	111.1	111.7	0.6	14.40	9.64	24.00
einschließlich	113.5	114.1	0.6	8.39	0.01	8.40
MDDSC013A	125.4	126.4	1.0	0.39	0.00	0.39
MDDSC013A	182.7	183.7	1.0	0.43	0.00	0.43
MDDSC014	8.2	9.2	1.0	0.58	0.00	0.58
MDDSC015A	202.0	204.7	2.7	0.49	0.01	0.50
MDDSC015A	222.0	226.5	4.6	1.62	0.07	1.69
einschließlich	222.7	223.3	0.6	5.50	0.34	5.84
MDDSC015A	231.4	246.7	15.3	2.16	2.10	4.25
einschließlich	232.3	233.2	0.8	1.11	6.76	7.84
einschließlich	238.1	238.6	0.5	6.63	15.30	21.86
einschließlich	241.3	244.1	2.8	5.70	5.46	11.14
einschließlich	245.6	246.1	0.5	10.10	0.65	10.75
MDDSC015A	259.8	260.6	0.8	0.53	0.01	0.54
MDDSC016A	109.4	132.9	23.5	1.6	0.30	1.9
einschließlich	124.7	125.1	0.4	53.3	3.48	56.8
MDDSC016A	157.5	169.4	11.9	0.7	0.50	1.2
einschließlich	167.8	168.2	0.4	0.9	12.10	12.9
MDDSC016A	174.6	182.2	7.6	2.2	0.23	2.4
einschließlich	177.2	177.8	0.6	4.6	0.75	5.4
MDDSC017	242.7	243.4	0.7	14.1	0.01	14.1
MDDSC018	199.8	212.0	12.2	1.6	0.18	1.8
einschließlich	202.3	203.3	1.0	12.5	1.07	13.5
MDDSC019	52.0	53.0	1.0	3.5	0.06	3.5
MDDSC019	151.6	156.0	4.4	0.8	0.02	0.8
MDDSC019	159.0	163.0	4.0	0.9	0.03	1.0
MDDSC020	207.0	222.0	15.0	1.3	0.43	1.8
einschließlich	207.0	208.0	1.0	8.4	0.23	8.7
einschließlich	216.7	217.4	0.7	2.8	3.46	6.2
MDDSC021	274.7	296.4	21.7	4.7	0.95	5.6
einschließlich	277.0	277.4	0.4	145.5	20.00	165.4
einschließlich	280.4	281.5	1.1	19.2	7.50	26.7

einschließlich	287.4	287.8	0.4	14.7	3.29	17.9
MDDSC021	298.4	299.2	0.8	0.3	0.02	0.3
MDDSC022	194.4	194.7	0.3	0.5	0.00	0.5

Anmerkung: (1) Die tatsächliche Mächtigkeit des mineralisierten Abschnitts wird auf etwa 70 % der beprobten Mächtigkeit geschätzt.

Tabelle 3: Einzelne Untersuchungsdaten (Au>0,3 g/t) aus den Bohrlöchern, über die in dieser Pressemitteilung berichtet wird.

loch_ID	von (m)	bis (m)	Breite (m)	Au g/t	Sb%	Auäq g/t
MDDSC022	194.4	194.7	0.3	0.5	0.00	0.5
MDDSC021	274.7	275.9	1.2	1.1	0.01	1.1
MDDSC021	276.3	277.0	0.7	1.0	0.17	1.1
MDDSC021	277.0	277.4	0.4	145.5	20.00	165.4
MDDSC021	277.4	278.4	1.0	1.9	0.06	1.9
MDDSC021	280.4	280.9	0.5	15.9	6.72	22.6
MDDSC021	280.9	281.2	0.3	29.3	3.90	33.2
MDDSC021	281.2	281.5	0.3	14.8	11.90	26.6
MDDSC021	281.5	282.1	0.6	1.3	0.30	1.6
MDDSC021	283.7	284.4	0.7	1.0	0.17	1.2
MDDSC021	285.8	286.4	0.6	1.3	0.59	1.9
MDDSC021	287.4	287.8	0.4	14.7	3.29	17.9
MDDSC021	287.8	288.4	0.7	0.5	0.18	0.7
MDDSC021	288.4	289.3	0.9	0.4	0.03	0.5
MDDSC021	292.9	293.7	0.8	1.0	0.40	1.4
MDDSC021	293.7	294.3	0.6	2.4	0.75	3.1
MDDSC021	294.3	294.8	0.5	1.0	0.25	1.2
MDDSC021	295.2	296.0	0.8	1.0	0.02	1.0
MDDSC021	296.0	296.4	0.5	0.4	0.17	0.5
MDDSC021	298.4	299.2	0.8	0.3	0.02	0.3
MDDSC020	207.0	208.0	1.0	8.4	0.23	8.7
MDDSC020	208.0	209.0	1.0	1.0	0.29	1.3
MDDSC020	209.0	210.0	1.0	0.4	0.02	0.4
MDDSC020	210.0	210.5	0.5	0.7	0.02	0.7
MDDSC020	212.0	213.0	1.0	0.4	0.02	0.4
MDDSC020	213.0	214.0	1.0	0.7	0.05	0.7
MDDSC020	214.0	215.0	1.0	1.1	0.96	2.1
MDDSC020	215.0	216.0	1.0	1.3	0.23	1.5
MDDSC020	216.0	216.7	0.7	0.5	1.01	1.5
MDDSC020	216.7	217.4	0.7	2.8	3.46	6.2
MDDSC020	218.0	219.0	1.0	2.2	0.14	2.4
MDDSC020	219.0	220.0	1.0	0.8	0.12	0.9
MDDSC020	220.0	221.0	1.0	0.3	0.54	0.8
MDDSC020	221.0	222.0	1.0	0.5	0.72	1.2
MDDSC019	52.0	53.0	1.0	3.5	0.06	3.5
MDDSC019	112.7	113.7	1.0	0.4	0.02	0.4
MDDSC019	113.7	114.3	0.6	0.3	1.31	1.6
MDDSC019	151.6	152.2	0.6	0.8	0.00	0.8
MDDSC019	152.2	152.9	0.7	2.1	0.01	2.1

MDDSC019	152.9	153.9	1.0	0.6	0.01	0.6
MDDSC019	153.9	154.6	0.7	0.3	0.01	0.3
MDDSC019	154.6	155.4	0.8	0.6	0.01	0.6
MDDSC019	155.4	156.0	0.6	0.6	0.05	0.7
MDDSC019	159.0	160.0	1.0	0.6	0.02	0.6
MDDSC019	160.0	161.0	1.0	1.4	0.01	1.4
MDDSC019	161.0	162.0	1.0	0.6	0.06	0.7
MDDSC019	162.0	163.0	1.0	1.2	0.05	1.2
MDDSC018	202.3	203.3	1.0	12.5	1.07	13.5
MDDSC018	203.3	204.1	0.8	2.7	0.62	3.3
MDDSC018	205.0	206.0	1.0	0.6	0.21	0.8
MDDSC018	206.0	207.0	1.0	0.7	0.06	0.8
MDDSC018	207.0	208.0	1.0	0.4	0.16	0.6
MDDSC018	208.0	209.0	1.0	2.4	0.03	2.5
MDDSC018	211.0	212.0	1.0	0.4	0.01	0.4
MDDSC018	284.0	285.0	1.0	0.4	0.00	0.4
MDDSC017	242.7	243.4	0.7	14.1	0.01	14.1
MDDSC017	250.0	251.0	1.0	0.7	0.01	0.7
MDDSC017	251.0	252.0	1.0	0.3	0.01	0.3
MDDSC017	262.0	263.0	1.0	0.4	0.03	0.5
MDDSC017	263.0	264.0	1.0	1.1	2.57	3.7
MDDSC017	264.0	265.0	1.0	0.4	0.03	0.4
MDDSC017	267.0	268.0	1.0	0.4	0.01	0.4
MDDSC017	336.0	337.0	1.0	0.5	0.00	0.5
MDDSC016A	36.4	37.4	1.0	0.4	0.00	0.4
MDDSC016A	41.6	42.0	0.4	0.3	0.00	0.3
MDDSC016A	80.0	80.5	0.5	0.6	0.00	0.6
MDDSC016A	109.4	110.4	1.0	1.3	0.00	1.3
MDDSC016A	111.3	112.0	0.7	0.3	0.02	0.3
MDDSC016A	112.0	112.6	0.6	2.6	0.77	3.3
MDDSC016A	112.6	113.4	0.8	0.7	0.02	0.7
MDDSC016A	114.8	115.6	0.8	0.6	0.01	0.6
MDDSC016A	115.6	116.1	0.5	1.1	3.38	4.4
MDDSC016A	116.1	116.6	0.5	0.5	0.06	0.5
MDDSC016A	116.6	116.9	0.3	0.5	0.02	0.5
MDDSC016A	116.9	117.4	0.5	2.1	0.12	2.2
MDDSC016A	117.4	118.4	1.0	0.3	0.02	0.3
MDDSC016A	119.1	120.1	1.0	0.4	0.23	0.6
MDDSC016A	122.0	122.8	0.8	0.5	0.02	0.6
MDDSC016A	122.8	123.3	0.6	3.2	0.91	4.1
MDDSC016A	124.7	125.1	0.4	53.3	3.48	56.8
MDDSC016A	125.1	125.6	0.5	2.6	0.19	2.8

MDDSC016A	125.6	126.0	0.4	1.8	0.02	1.8
MDDSC016A	126.0	126.8	0.8	1.3	0.02	1.3
MDDSC016A	126.8	127.7	1.0	0.7	0.13	0.9
MDDSC016A	127.7	128.7	1.0	0.4	0.07	0.4
MDDSC016A	129.2	129.6	0.4	0.3	0.01	0.3
MDDSC016A	131.5	132.7	1.2	0.5	0.05	0.5
MDDSC016A	132.7	132.9	0.2	0.7	0.52	1.2
MDDSC016A	150.7	151.4	0.7	0.4	0.01	0.4
MDDSC016A	151.4	152.4	1.0	0.3	0.00	0.3
MDDSC016A	154.2	155.2	1.0	0.4	0.01	0.4
MDDSC016A	157.5	158.2	0.7	0.6	0.00	0.6
MDDSC016A	159.9	160.6	0.7	1.1	0.00	1.1
MDDSC016A	160.6	161.6	1.0	1.0	0.01	1.0
MDDSC016A	161.6	162.6	1.0	1.1	0.00	1.1
MDDSC016A	162.6	163.6	1.0	0.5	0.00	0.5
MDDSC016A	163.6	164.6	1.0	0.6	0.00	0.6
MDDSC016A	164.6	165.6	1.0	0.5	0.00	0.5
MDDSC016A	165.6	166.5	0.8	1.1	0.01	1.1
MDDSC016A	166.5	167.0	0.5	0.6	0.01	0.6
MDDSC016A	167.0	167.8	0.8	0.7	1.29	2.0
MDDSC016A	167.8	168.2	0.4	0.9	12.10	12.9
MDDSC016A	168.7	169.4	0.6	0.4	0.01	0.4
MDDSC016A	174.6	175.5	0.9	0.5	0.24	0.7
MDDSC016A	175.5	176.2	0.7	3.0	0.12	3.1
MDDSC016A	176.2	176.7	0.4	0.7	0.07	0.7
MDDSC016A	176.7	177.2	0.5	1.8	0.25	2.1
MDDSC016A	177.2	177.8	0.6	4.6	0.75	5.4
MDDSC016A	177.8	178.5	0.7	3.8	1.01	4.8
MDDSC016A	178.5	179.3	0.8	3.7	0.10	3.8
MDDSC016A	179.3	179.7	0.4	4.3	0.03	4.4
MDDSC016A	180.4	181.0	0.6	1.7	0.01	1.7
MDDSC016A	181.0	181.4	0.4	1.3	0.00	1.3
MDDSC016A	181.4	182.2	0.9	0.8	0.00	0.8
MDDSC016A	185.0	185.5	0.5	0.9	0.01	0.9
MDDSC016A	185.5	186.0	0.5	0.6	0.00	0.6
MDDSC016A	186.0	187.0	1.0	0.5	0.00	0.5
MDDSC016A	189.7	190.0	0.3	0.5	0.00	0.5
MDDSC016A	194.0	195.0	1.0	0.4	0.00	0.4
MDDSC016A	195.0	196.0	1.0	0.3	0.00	0.3
MDDSC016A	197.0	197.7	0.7	0.5	0.00	0.5
MDDSC016A	232.1	232.8	0.7	0.3	0.00	0.3